

1.097.- Entrada a la cueva, de la cantera de Parajes en la Caliza de Vegadeo.(CA_1c)



1.098.- Vista del interior de la cueva de la Cantera de Parajes. Caliza de Vegadeo.(CA1c)

interior de la cueva



1.099.- Vista del interior de la cueva de la Cantera de Parajes. Caliza de Vegadeo (CA_1c)



1.100.- Vista interior de la cueva de la Cantera de Parajes. Caliza de Vegadeo.(CA1C)

1.101.- Vista interior de la cueva de la Cantera de Parajes. Caliza de Vegadeo.(CA_1c)





1.519.- Vista general de la terraza Q_1T_3 del Río Miño desde la Q_1T_2



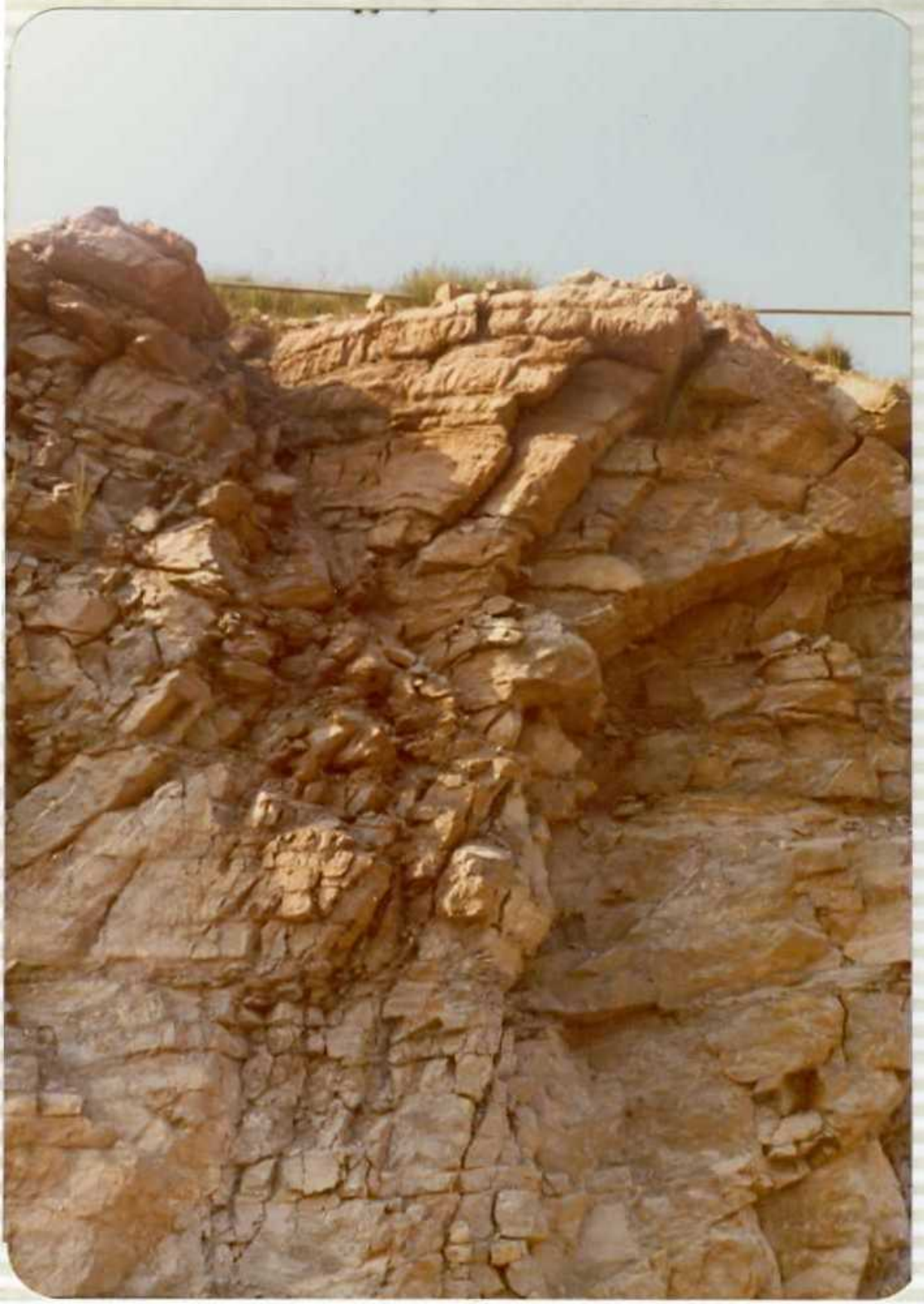
1.523.- Vista general de la Sierra de Meira. En el centro de la fotografía izquierda, canchal de elementos cuarcíticos. Obsérvese los crestones formados por los bancos cuarcíticos de las Capas superiores del río Eo. (O_1^2)



1.526.- Dolina desarrollada sobre la caliza de Vegadeo con fondo de "terra rossa" fosilizada por aportes coluvionares. Cant. Parajes.



1.529.- Vista de la cantera de Vales Se puede observar la relación entre diaclasamiento y formas de disolución en la caliza de Vegadeo en la parte superior de la fotografía.(CA1C)



1.530.- Detalle de acanaladuras en la caliza de Vegadeo. Parte superior de la fotografía. (Cantera de Vales) (CA_1c)



1.531.- Vista parcial de la "Terra Cha".



1.532.- Vista parcial de la "Terra Cha" desde la Cantera de Roas.



1.533.- Nacimiento popular del Río Miño (Fonmiñana). Laguna de origen por surgencia cárstica de la Caliza de Vegadeo. (Ctr. de Meira a Vivero, aproximadamente Km. 2).



1.534.- Vista general en el plano medio de la fotografía, de la turbera de Argán.



1.535.- Aspecto de la turbera de Argán.



1.536.- Detalle de la turbera de Argán.



1.537.- Llanural aluvial del Río Miño.



1.538.- Barras fijas y régimen "braided" del Río Miño.



1.539.- Igual detalle que la anterior.



1.540.- Vista general de la terraza Q_1T_3, en la zona de la Laguna de Bardancos.



1.541.- Igual detalle que la anterior.



1.543.- Vista general de la ladera estabilizada y desarrollada sobre los materiales de la Serie de Villalba, del macizo Porto dás Yeguas. (PCξ-ξA)



1.544.- Contacto entre la depresión terciaria en la "Terra Cha" y la cuesta del Macizo Porto das Yeguas.



1.545.- En el plano medio de la foto cerro residual con laderas estabilizadas en las capas de Tránsito. (CA_1P_2)



1.546.- Vista general del Terciario de la "Terra Cha". Al fondo los relieves del Porto das Yeguas.



1.547.- Vista general de la depresión terciaria de la "Terra Cha". Al fondo el relieve del Porto das Yeguas".



1.548.- Vista general de la Depresión terciaria de la "Terra Cha" y su contacto en el plano medio de la fotografía con los materiales precámbricos de la Serie Villalba.



1.550.- Canal meandriforme encajado, del río Eo próximo al límite E de la Hoja.



1.551.- Vista general del Valle del río Eo. Al fondo las sierras y en el plano medio de la fotografía desarrollo de hombreras posiblemente cons-



1.552.- Detalle de las superficies terciarias del Valle del Eo. Al fondo las Sierras.



1.553.- Crestón cuarcítico de las capas superiores del río Eo.(O^2_{12})



1.574.- Vista general de la "Terra Cha" desde el macizo de Porto das Yeguas. Al fondo las superficies terciarias y las sierras.



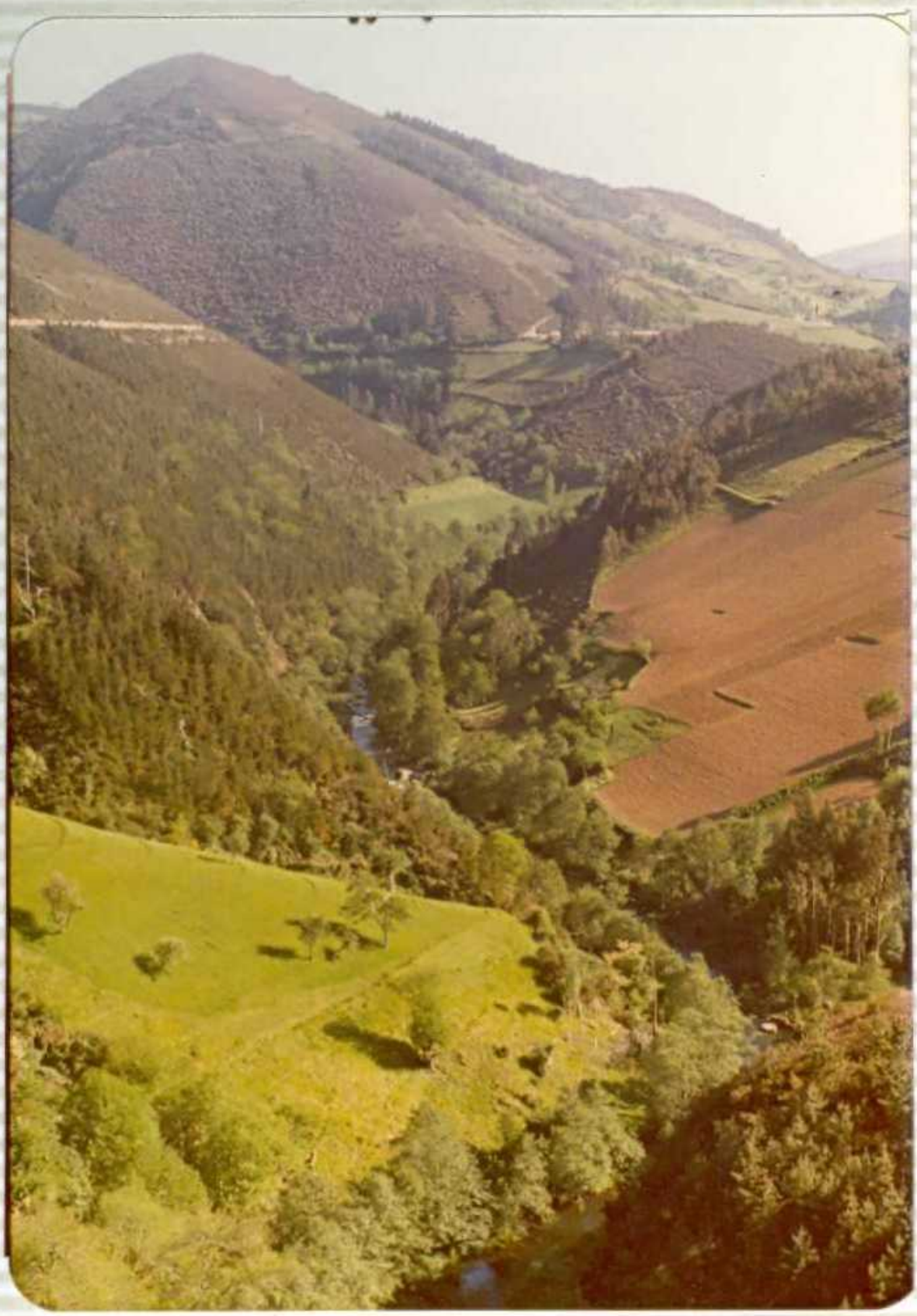
1.581.- Masa hundida por gravedad y solifluxión.(Q_2Ld)



1.582.- Valle abierto conforme las lineas estructurales. Localmente relleno por "terra rossa" procedentes de las intercalaciones calcáreas en la serie de las Pizarras de Candana. (c de CA_1P_1)



1.583.- Terciario de la "Terra Cha". Al fondo y en el plano medio de la fotografía la terraza Q_1T_1. (Tercio Oeste).



1.584.- Aspecto meandriforme del río Eo y detalle del Valle en "V" de desarrollo cuaternario.



1.588.- Vista del valle del río Pequeño y detalle de la pendiente cóncava desarrollada sobre las Pizarras de Candana.



662.- Dolina de reducidas dimensiones originadas por hundimiento en la caliza de Vegadeo.(CA1C)



666.- Grado muy avanzado de disolución de la Caliza de Vegadeo. Cantera de Vales. (CA_{1c})